

УДК 620.193:541.135:621.357.7

В. И. ПОПОВ, О. К. АКМАЕВ, Р. Н. ХАФИЗОВ

## ЭЛЕКТРОЛИТИЧЕСКИЕ ПРОЦЕССЫ НА АКТИВИРУЕМЫХ ПОВЕРХНОСТЯХ

Обобщены результаты исследований авторов по влиянию механической активации на протекание электродных реакций и свойства получаемых осадков. На основе этого обоснован способ гальваномеханического упрочнения поверхности, получены новые экспериментальные данные о механизме электрокристаллизации, формировании структуры и свойствах электролитических осадков железа и хрома. Гальваномеханические процессы; электрокристаллизация; износостойкость; структура и текстура покрытий

### ВВЕДЕНИЕ

Формирование и свойства электролитических покрытий определяются преимущественно начальными актами электрокристаллизации и, в частности, установленным на примере серебра вероятностным характером двухмерного зародышеобразования [1]. При реализации этого процесса на периодически обновляемой поверхности путем механического удаления поверхностного слоя металла достигнуты воспроизводимые результаты при измерении емкостной составляющей импеданса [2]. Дальнейшие исследования [3–11] показали возможность влияния механического воздействия как на начальные акты зародышеобразования, так и на процесс электрокристаллизации в целом.

Сочетание механической активации и электроосаждения оказывается перспективным для упрочнения поверхности. Образующиеся при этом покрытия приобретают новые, по сравнению с обычными гальваническими осадками, свойства. Формируется тонокомпозит в виде системы «материал–покрытие», что является одним из перспективных путей повышения износостойкости — одного из важнейших параметров, определяющих надежность и долговечность техники.

Поэтому изучение гальваномеханического осаждения перспективно с целью получения, с одной стороны, новой информации о протекании электрохимических реакций в нестационарном режиме с периодической или постоянной механической активацией поверхности, а с другой — разработки технологии получения покрытий с повышенной износостойкостью, которая определяется комплексом технологических аспектов и свойств ма-

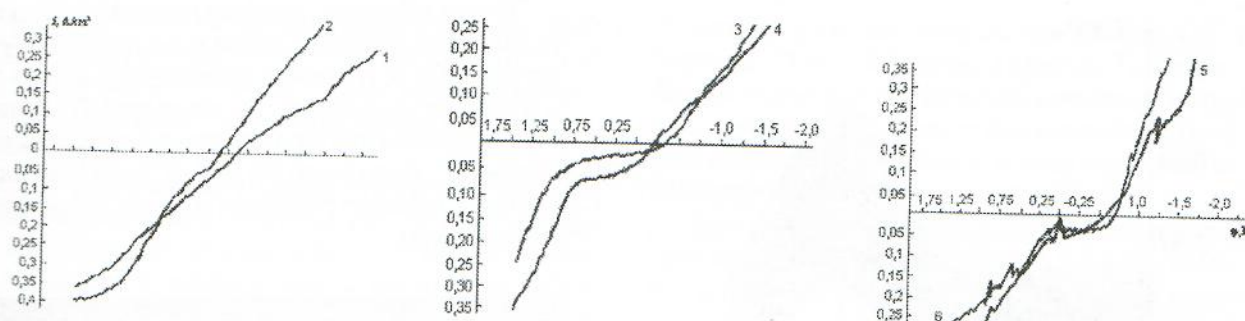
териалов. Кроме того, гальваномеханические системы позволяют резко интенсифицировать процесс электроосаждения и дают возможность встраивать гальванический модуль в гибкую производственную систему.

### 1. МЕТОДИКА ЭКСПЕРИМЕНТА

Для исследования использовались различные методы: потенцио-гальванодинамические, статические, варьирование гидродинамических условий, составов электролитов, формы тока. Катодная поверхность подвергалась постоянной или периодической активации различными способами — от относительно незначительного воздействия титановыми или платиновыми щетками вплоть до съема металла карбидом кремния или алмазной связкой. Установка для исследования электрокристаллизации при механическом воздействии и составы электролитов железения и хромирования представлены в работах [6, 7, 11]. Разработаны полупромышленные установки для гальваномеханического осаждения на базе токарного и хонинговального станков. Изучались морфология, коррозионные и физико-механические свойства покрытий. Значения потенциалов в работе приведены по водородной шкале.

### 2. ЭЛЕКТРООСАЖДЕНИЕ ЖЕЛЕЗА

В сульфаминовом электролите (рис. 1) при 293 К поляризационная кривая 1, полученная на активированном электродре, смешена в широкой области потенциалов в положительную сторону, по сравнению с кривой 2, полученной без активации; противоположное соотношение отмечается только при вы-



**Рис. 1.** Поляризационные кривые, полученные в сульфаминовом электролите при скорости развертки 4 В/мин без активации (1, 3, 5) и с активацией алмазными брусками (2, 4, 6) при температурах, К: 1, 2 – 293; 3, 4 – 313; 5, 6 – 333

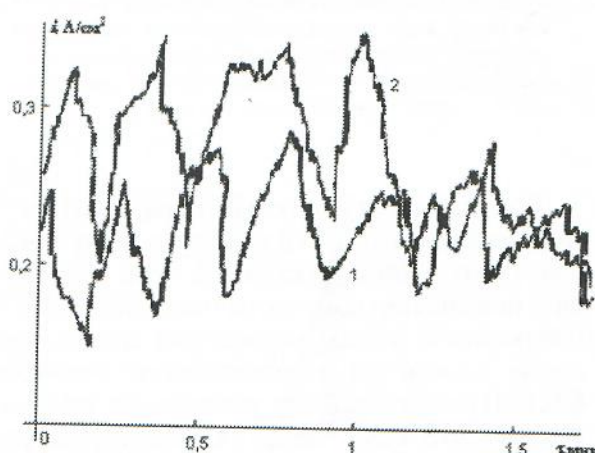
соких значениях анодной плотности тока (более  $0,2 \text{ A} \cdot \text{см}^{-2}$ ). При 313 К (кривые 3, 4), напротив, в катодной области за счет активации вначале проявляется отрицательное, а затем положительное смещение потенциала, а в анодной — только сдвиг потенциала в положительную сторону. В области же высоких температур, например 333 К (кривые 5, 6), процесс протекает с заметными колебаниями потенциала, более интенсивными при активации, которая ведет к смещению поляризационной кривой в область положительных потенциалов, наиболее заметному — при анодной поляризации.

В целом, с ростом температуры происходит смещение поляризационных кривых к более отрицательным потенциалам и уменьшение их наклона преимущественно к катодной области, что связано со снижением активационного барьера электрокристаллизации железа.

При фиксированном значении потенциала 1,4 В растворение покрытий, полученных без активации (рис. 2, кривая 1), происходит с колебаниями меньшей амплитуды и менее симметричными, чем в случае активированных образцов (кривая 2), что указывает на более равномерную и кристаллографически однородную структуру активированных осадков. В оксалатно-сульфатных электролитах такие закономерности выражены сильнее [7].

Как и в оксалатно-сернокислом [7], в сульфаминовом электролите также обнаружены автоколебания плотности тока в процессе формирования катодного осадка, причем при переходе от электролиза без активации к гальваномеханическому осаждению происходит рост амплитуды и периода колебаний. Такие колебания дают прямую информацию о формировании зёрен кристаллитов железа, межзёренных границ и отдельных слоев осадка, а роль «фона», вызывающего часть колебательных эффектов, выполняет критиче-

ское газонаполнение электрода выделяющимся водородом.



**Рис. 2.** Зависимости плотность тока–время при растворении железного покрытия в сульфаминовом электролите без активации (1) и при активации (2) при потенциале +1,4 В

Исследования показали возможность формирования покрытий с определённой структурой и текстурой при механической активации, поскольку она позволяет влиять на те факторы, которые на неактивируемых электродах обуславливают кинетические закономерности эволюции зародышеобразования и электроосаждения, приводящие в итоге к формированию новой фазы [12].

### 3. МЕХАНИЧЕСКИЕ И КОРРОЗИОННЫЕ СВОЙСТВА ЖЕЛЕЗНЫХ ПОКРЫТИЙ

Установлено, что в условиях трибоактивации между микротвёрдостью поверхносного слоя и плотностью тока при электроосаждении железа из оксалатно-сульфатного электролита отмечается заметная корреляционная зависимость (рис. 3).

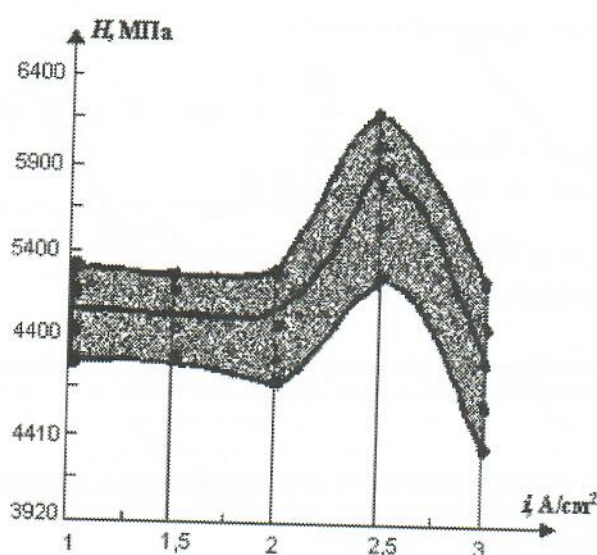


Рис. 3. Зависимость микротвердости поверхностного слоя электроосажденного железа в условиях трибоактивации от катодной плотности тока (активатор — алмазный бруск, электролит — оксалатно-сульфатный)

В интервале плотностей токов  $1-2 \text{ А}\cdot\text{см}^{-2}$  микротвёрдость только незначительно повышается от 4788 до 5239 МПа. При дальнейшем повышении плотности тока до  $2,5 \text{ А}\cdot\text{см}^{-2}$  наблюдается резкое повышение микротвёрдости вплоть до максимального значения 6321 МПа. Дальнейшее повышение плотности тока до  $3 \text{ А}\cdot\text{см}^{-2}$  ведёт к снижению микротвёрдости до 5013 МПа.

В целом, микротвёрдость при активации варьируется в пределах 4490–6320 МПа. В обычных случаях электроосаждения железа достигаются величины 1200–8000 МПа. Отличие полученных характеристик — чрезвычайно высокая скорость осаждения ( $1-3 \text{ А}\cdot\text{см}^{-2}$ ), превышающая примерно на порядок скорость осаждения неактивируемых покрытий ( $0,1-0,15 \text{ А}\cdot\text{см}^{-2}$ ), возможность варьирования свойств по толщине осадка, устойчивость получаемых характеристик при значительной толщине покрытий.

При замене алмазного активатора на более крупнодисперсный — абразивный — значения микротвёрдости снижаются до 3596–4037 МПа, снижается и оптимальная плотность тока, до  $0,75 \text{ А}\cdot\text{см}^{-2}$ . При использовании ещё меньшего воздействия активатором из фторопласта микротвердость ещё ниже — 3347–4596 МПа, при максимальной плотности тока  $0,16 \text{ А}\cdot\text{см}^{-2}$ . Следовательно, снижение эффективности активатора ведет к снижению как микротвердости, так и достигаемых значений плотности тока.

Таким образом, трибоактивация позволяет получать осадки железа с высокой микротвердостью в условиях увеличения скорости осаждения покрытий на порядок. Получаемые в результате активированные железные покрытия, как видно из рис. 4, имеют мелкоクリSTALLическое строение и не отслаиваются от подложки.

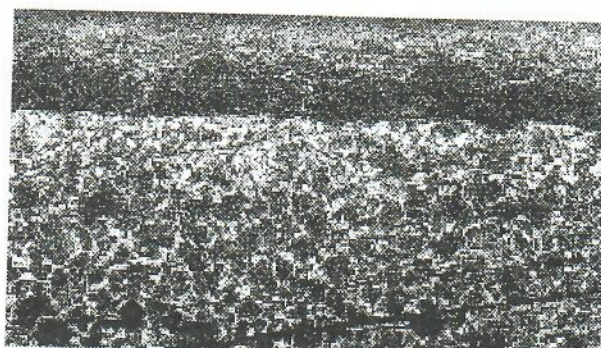


Рис. 4. Микрофотография образца с активированным железным покрытием (микрошлиф  $300\times$ ), полученным при  $i_K = 2,5 \text{ А}\cdot\text{см}^{-2}$  в оксалатно-сульфатном электролите при  $T = 323 \text{ К}$  и при  $\tau = 15 \text{ мин}$ )

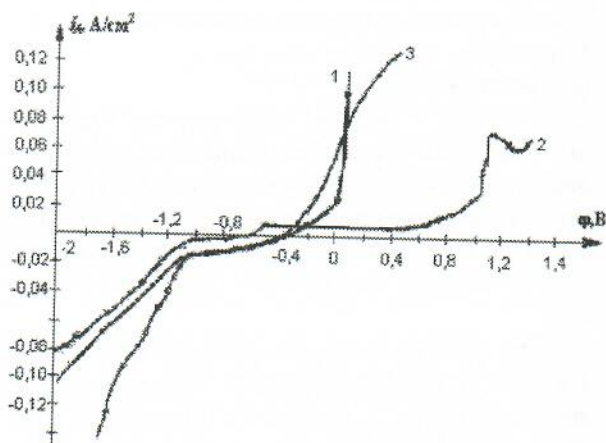


Рис. 5. Потенциостатические поляризационные кривые, полученные в растворе  $0,1 \text{ M NaCl}$  на электролитических железных покрытиях, осажденных из оксалатно-сульфатного электролита без активации (кривая 1) и в случае обработки алмазной связкой (кривые 2, 3) при плотностях тока,  $\text{А}\cdot\text{см}^{-2}$ : 1 — 0,03; 2 — 1,00; 3 — 2,50 (потенциалы приведены по водородной шкале)

При потенциостатической поляризации железных покрытий, осажденных без механической активации из оксалатно-сульфатного электролита, в широком интервале потенциалов поляризационная кривая 1 (рис. 5) имеет плавный вид, характерный для электрохимического поведения электролитического железа в различных средах. Кривая 2, характеризующая поведение активированного образца, имеет заметно другую форму. В отрица-

тельной области потенциалов отмечена предельная плотность при потенциале  $-1,6$  В, составляющая  $0,06 \text{ A} \cdot \text{см}^{-2}$ , что связано с критическим газонаполнением электрода выделяющимся водородом.

Такая плотность тока отмечается при заметно меньшем потенциале, чем в случае неактивированного образца ( $-1,4$  В) и имеет меньшую величину, чем в случае кривой 1 ( $0,12 \text{ A} \cdot \text{см}^{-2}$ ). В целом, кривая 2 характеризуется областью значительно меньших плотностей тока, чем на неактивированных образцах, что проявляется и при переходе от катодной поляризации к анодной. В анодной области интенсивное растворение активированных образцов начинается лишь при потенциале  $1,0$  В, достигая предельной плотности тока  $0,08 \text{ A} \cdot \text{см}^{-2}$ . Различия кривых 1, 2 связаны и с плотностями тока, использованными при получении осадков ( $0,03 \text{ A} \cdot \text{см}^{-2}$  в случае кривой 1 и  $1 \text{ A} \cdot \text{см}^{-2}$  в случае кривой 2). Кривая 3, отвечающая плотности тока  $2,5 \text{ A} \cdot \text{см}^{-2}$ , уже смещена в область больших токов, и для нее характерны предельные точки  $0,065 \text{ A} \cdot \text{см}^{-2}$  при потенциале  $-1,55$  В в катодной и  $0,12 \text{ A} \cdot \text{см}^{-2}$  при  $0,4$  В в анодной областях.

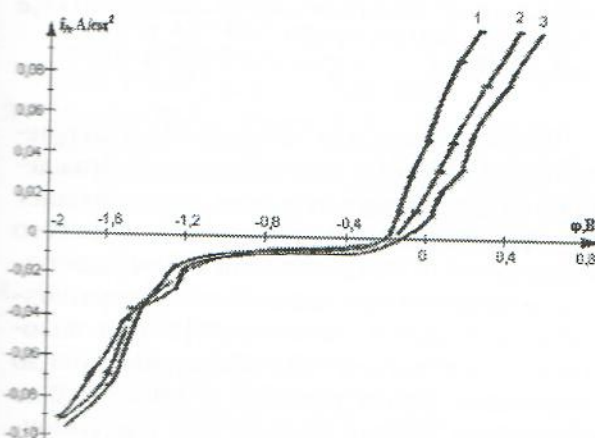


Рис. 6. Потенциостатические поляризационные кривые, полученные при коррозионных испытаниях электролитических железных покрытий, осажденных из оксалатно-сульфатного (кривая 1) и сульфаминового (кривые 2, 3) электролитов при плотностях тока,  $\text{A} \cdot \text{см}^{-2}$ : 1 —  $0,08$ ; 2 —  $0,25$ ; 3 —  $4,0$ ; с различными активаторами: 1 — фторопласт, 2 — Т-4, 3 — абразив

На рис. 6 приведены результаты коррозионных измерений на образцах, обработанных различными активаторами. По сравнению с алмазным активатором только абразив дает возможность обеспечить более высокие катодные плотности тока. В целом, по мере усиления активирующего действия при переходе от активаторов из фторопласта (кривая 1)

к активаторам из титанового сплава Т-4 (кривая 2) и к абразиву (кривая 3) наблюдается заметное повышение антикоррозионных свойств. Причины этого в отличии условий получения активированных покрытий от обычных гальванических процессов.

Для недеформируемых железных покрытий пассивация преимущественно происходит за счет ингибиции [13] в виде хемосорбции с возможным последующим превращением хемосорбированного слоя  $\text{Fe} + 3\text{H}_2\text{O} \rightarrow \text{Fe}(\text{O...O}_2)_{\text{адс}} + 6\text{H}^+ + 6\text{e}$  и образования оксидных пленок  $\text{FeO}$ ,  $\text{Fe}_2\text{O}_3$ ,  $\text{Fe}_3\text{O}_4$ , что отвечает плотности тока коррозии  $57 \cdot 10^{-6} \text{ A} \cdot \text{см}^{-2}$ . Относительно невысокая коррозионная стойкость таких осадков связана с различиями размеров кристаллов, появлением промежутков между ними, отсутствием плотной упаковки.

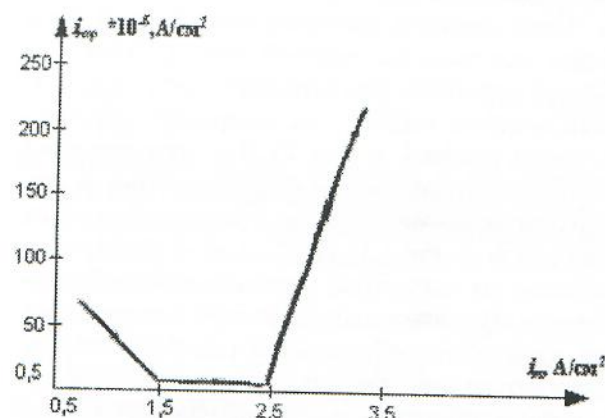


Рис. 7. Зависимость тока коррозии от катодной плотности тока, при которой производилось осаждение железных покрытий, активируемых алмазной связкой, из оксалатно-сернокислого электролита

В условиях механической активации, когда осадки получаются при скоростях процесса больше на два и три порядка, уже для осадка, отвечающего катодной плотности тока  $1 \text{ A} \cdot \text{см}^{-2}$ , ток коррозии снижается до  $43 \cdot 10^{-6} \text{ A} \cdot \text{см}^{-2}$  (рис. 7).

Дальнейшее повышение плотности тока ведет к стабилизации тока коррозии в пределах  $2 \dots 9 \cdot 10^{-6} \text{ A} \cdot \text{см}^{-2}$  при  $1,5 \dots 2,5 \text{ A} \cdot \text{см}^{-2}$ . Это обусловлено тем, что при формировании покрытий в приэлектродном слое за счет подщелачивания катодного пространства, вследствие выделения водорода, ускоряется гидролиз гексааквакатионов Fe (II). За счет структурно-термической активации становятся возможными реакции Шикорра [14] с образованием гидроксида Fe (III)  $2\text{Fe}(\text{OH})_2 +$

**Плотности токов обмена и стационарные потенциалы для хромовых покрытий, полученных при 322 К**

Условия измерения	$i_0 \cdot 10^4$ , А·см <sup>-2</sup>	$\varphi_c$ , В
1. Без механической активации и перемешивания раствора	1,259	-0,190
2. Без механической активации с перемешиванием .....	7,601	0,295
3. При механической активации и перемешивании .....	10,011	0,365

$+ H_2O \rightleftharpoons 2Fe(OH)_3 + H_2$  и других пассивирующих фаз  $[FeO(OH)]_n$ ,  $nFe_3O_4$ , их разложение и рекристаллизация. Формируются как мелкокристаллические осадки железа, ток и мелкие округлые кристаллы пассивирующих фаз, имеющие плотную упаковку, которая препятствует подходу молекул кислорода к металлу и выходу ионов железа в раствор.

Относительно ненапряженные осадки подвергаются пластической деформации активатором, происходит наклеп и формируются вторичные структуры, что ведет к пассивации поверхности.

При электроосаждении железа в области более высоких плотностей тока ( $3\text{ A}\cdot\text{cm}^{-2}$  и более) коррозионная стойкость активированных осадков падает, ток коррозии, соответственно, растет (см. рис. 7). За счет активации становится возможным формирование на поверхности высокотемпературных кластерных фаз вюрстита  $Fe_{1-x}O$  ( $0,05 < x < 0,15$ ), происходит их частичная диссоциация с образованием протяженных дефектов по механизму кристаллографического сдвига. Осаджаются более напряженные покрытия с увеличенной концентрацией несовершенств структуры, поэтому на пластическую деформацию их активатором накладывается частичный захват им покрытия и растяжение осадка, что ведет к депассивации катодного процесса.

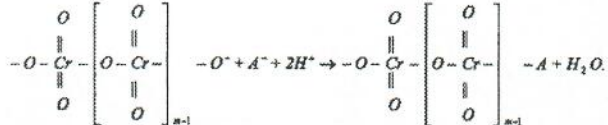
Таким образом, электролитические железные покрытия, получаемые в условиях трибоактивации или в широком интервале катодных плотностей тока имеют повышенную защитную способность. Это достигается за счет формирования оксидно-гидроксидных фаз железа, последующего их разложения и рекристаллизации. Осадки, получаемые при более повышенных плотностях тока, не имеют высокой коррозионной стойкости из-за роста концентрации несовершенств структуры.

#### 4. ОСАЖДЕНИЕ ХРОМА

Возможность получения высококачественных хромовых покрытий при активации изучена ранее [6]. При изучении теоретических аспектов электроосаждения хрома были

определенны плотности тока обмена и стационарные потенциалы по анализу полулогарифмических анодных и катодных участков поляризационных кривых, представленные в таблице.

Из таблицы следует, что при последовательном усилинии воздействия на электрод — вначале перемешиванием, затем дополнительно механически — поверхность переходит в более активное состояние (растут  $i_0$ ), однако одновременно становится более склонной к пассивации (растут  $\varphi_c$ ). Причиной последней служат превращения образующихся в поверхностном слое оксианионов Cr (VI) с участием анионов  $A^-$  (например,  $HSO_4^-$ ) [15]:



Таким образом, для хромирования получены новые данные о кинетике электроосаждения в активируемых условиях, что позволяет варьировать режимы гальваномеханического осаждения и открывает перспективы реализации технологии получения осадков с различной структурой и свойствами [11]: от волокнистой структуры в виде многогранников до переходной, соответственно; от молочного до блестящего хрома с повышенной коррозионной стойкостью (в частности, к фреттинг-коррозии) и износостойкостью.

#### ВЫВОДЫ

1. Электролитические железные покрытия, получаемые в условиях трибоактивации в широком интервале катодных плотностей тока, имеют повышенную защитную способность за счет формирования оксидно-гидроксидных фаз железа, последующего их разложения и рекристаллизации.

2. Увеличение числа центров кристаллизации при механической активации позволяет формировать мелкокристаллические осадки железа и хрома.

3. Механическая активация частично устраниет ингибирующий слой на поверхности железа, состоящий преимущественно из адсорбированных гидроксильных групп, образующихся в результате диссоциативной адсорбции молекул воды.

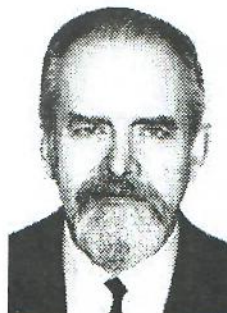
4. Для хромовых покрытий отмечен рост плотностей токов обмена, указывающий на переход поверхности в более активное состояние при трибоактивации.

5. При трибоактивации в процессе электроосаждения железа и хрома формируются покрытия, содержащие в качестве микрофазы оксидно-гидроксидные соединения металлов. Износстойкость получаемых покрытий повышена, поскольку при трении частично реализуется диффузионно-вакансационный механизм деформирования без накопления дефектов, свойственных усталостным процессам.

### СПИСОК ЛИТЕРАТУРЫ

1. Obretenov W., Bostanov V., Popov V. Stochastic characters of two-dimensional nucleation in the use electrocrystallization of silver // J. Electroanal. Chem. 1982. V. 132. P. 273–276.
2. Зелинский А. Г., Бек Р. Ю., Попов В. И. Зависимость емкости серебренного электрода с обновляемой поверхностью от pH растворов перхлората натрия // Электрохимия. 1986. Т. XXII, вып. 4. С. 525–528.
3. Barykin N. P., Popov V. I., Sergeeva Z. V., Kharlamov Yn. A. Electrochemical technology development of modifying surface by solid-lubricant coating // The 2nd Russian–Sino Symp. on Astronautical Science and Technique: Abstracts. Samara, 1992. P. 118.
4. Акмаев О. К., Попов В. И. Электроосаждение железных покрытий при механической активации // Технология механообработки – физика процессов и оптимальное управление: Междунар. науч.-техн. конф. Уфа, 1994. С. 79–80.
5. Акмаев О. К., Попов В. И. Модифицирование поверхностного слоя гальваномеханической обработкой // Автоматизированные технологические и мехатронные системы в машиностроении: Сб. тр. Уфа, 1997. С. 75–76.
6. Попов В. И., Акмаев О. К. Технология получения износстойких покрытий при трибоактивации // Перспективные материалы, технологии, конструкции: Сб. науч. тр. Вып. 4. Красноярск: Сибирск. аэрокосмич. академия, 1998. С. 601–605.
7. Попов В. И., Салихов И. А., Акмаев О. К., Адашева С. Л. Электроосаждение износстойких железных покрытий при трибоактивации // Перспективные технологии физико-химической размерной обработки и формирования эксплуатационных свойств металлов и сплавов: Сб. статей Всерос. науч.-практ. конф. Уфа, 2001. С. 112.
8. Попов В. И., Салихов И. А., Акмаев О. К. Электроосаждение износстойких коррозионно-стойких покрытий хромом и железом при периодической трибоактивации // Защитный покрытия в машиностроении и приборостроении: Сб. матер. Всерос. науч.-практ. конф. Пенза, 2001. С. 23–24.
9. Попов В. И., Салихов И. А., Акмаев О. К. Электроосаждение износстойких покрытий на основе железа, никеля и хрома при трибоактивации // Современные электрохимические технологии в машиностроении: Сб. статей и тез. докл. III Междунар. науч.-практ. сем. Иваново: ИГХТУ, 2001. С. 47–48.
10. Попов В. И., Салихов И. А. Гальваномеханическое модифицирование поверхности металлических материалов // Инновации в машиностроении: Сб. статей II Всерос. науч.-практ. конф. Пенза, 2002. С. 83–84.
11. Попов В. И., Бердиганова Е. В., Акмаев О. К. Электроосаждение износстойких покрытий, содержащих железо, хром и сплавы хром-железо // Современная электротехнология в машиностроении: Сб. тр. Междунар. науч.-техн. конф. Тула: ТГУ, 2002. С. 182–187.
12. Подборнов Н. В., Жихарев А. И., Жихарев И. Г. Модель ориентированного зародышеобразования при электрокристаллизации металлов // Электрохимия. 1990. Т. 26, вып. 7. С. 831–838.
13. Агладзе Т. Р. О механизмах электродных процессов на металлах группы железа // Электрохимия. 2000. Т. 36. 8, 10. С. 1197–1204.
14. Шеханов Р. Ф., Лукомский Ю. Я., Жуков Ю. А. Электроосаждение железа из оксалатных комплексов // Изв. вузов. Сер. Химия и химическая технология. Т. 39, вып. 6. С. 72–75.
15. Horanyi G. Anion adsorption in the course of dichromate reduction on a smooth gold electrode in aqueous acid solutions // J. of Solid State Electrochem. 2000. V. 4, Iss. 3. P. 153–158.

### ОБ АВТОРАХ



**Попов Владимир Иванович**, доц. каф. общ. химии УГАТУ. Инж.-химик-технолог (Казахск. химико-технологич. ин-т, 1967). Канд. хим. наук в области электрохимич. производства (УПИ, 1974). Исследования по кинетике электрохимических реакций, электрокристаллизации металлов и сплавов.



**Акмаев Олег Кашаевич,**  
Доц. каф. автоматизир. тех-  
нологич. систем УГАТУ.  
Дипл. инж.-механик (УАИ,  
1971). Канд. техн. наук по  
технологии производств ЛА  
и двигателей (УАИ, 1983).  
Исследования в обл. хонин-  
гования, гибких производ-  
ственных систем, гальвано-  
механической обработки.



**Хафизов Рим Назипович,**  
асп. каф. общей химии  
УГАТУ. Дипл. инж. в обл.  
мехатроники (УГАТУ, 2002).  
Работает над диссертацией  
о гальваномеханическом  
упрочнении поверхностей.